

85pt

a) De midpoints methode loopt over een van de assen ϵ in stappen van 1, en kiest steeds of relatief aan aan de vorige stap de waarde van de andere as eenige opgehoogt moet worden. Dit impliceert ook dat bij een eenvoudige implementatie de x "basis" -as ~~alt~~ nooit een stap kan plegen terwijl de andere as er twee doet oftewel dat $\frac{dy}{dx}$ maximaal 1 kan bedragen. Bij is $\frac{dy}{dx} > 1$, moet het gespiegelt worden ^{bevecht} ~~bevecht~~, met een loop in y en beslissing over x . (Net zo bij $\frac{dy}{dx} < -1$)

Maar:

$$4Ry = x^2$$

$$\Rightarrow \frac{dy}{dx} = \frac{1}{2R} x$$

$$\Rightarrow \max\left(\frac{dy}{dx}\right) = \frac{1}{2R} \max(x)$$

$$\max(x) = M/2R$$

$$\Rightarrow \max\left(\frac{dy}{dx}\right) = 1$$

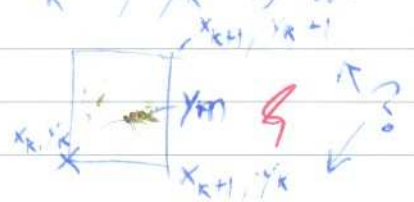
Net zo valt ook van te zien dat $-1 \leq \frac{dy}{dx}$

$$\text{dus } -1 \leq dy/dx \leq 1$$

In dit voorbeeld wordt alleen over x geïterereerd. ?

6

in een punt (x_k, y_k) op de rasterizatie van de parabool moet dus worden beslist of het ~~volgende~~ volgende punt $(x_k + 1, y_k + 1)$ wordt of $(x_k + 1, y_k)$.



Het middelpunt is dus $(x_k + 1, y_k + \frac{1}{2})$

De vraag is dus of y beter benaderd wordt door y_k of door y_{k+1} . Het midpunt nemende, is duidelijk dat als de lijn erboven verloopt, y_{k+1} goed is en y_k anders. De parabool interpreterende als nullijn van $F(x, y)$ met de opdracht, kun je zien dat als $F(x_{k+1}, y_k)$ positief is, de parabool onder y_k verloopt, en als $F < 0$, anders om.

Verblijft nog F te berekenen.

v

Het eerste beslispunt is $(1, \frac{1}{2})$, waar $F = 2R - 1$.
Het volgende punt is telkens $(x+1, y+1)$ of $(x+1, y)$

Je waakt het midpunt
nemen

$$F(x+1, y) = 4Ry - (x^2 + 2x + 1) = F(x, y) - 2x - 1$$

$$F(x+1, y+1) = 4R(y+1) - (x^2 + 2x + 1) = F(x, y) + 4R - 2x - 1$$

$$\Delta F_0 = -2x - 1 \quad \text{als } y \text{ niet op } y \text{ gehooft wordt en}$$

$$\Delta F_1 = 4R - 2x - 1 \quad \text{als } y \text{ wel opgehoft wordt}$$

helaas bevat ΔF nog een referentie aan x , ook deze valt weg te werken:

$$\Delta \Delta F = -2.$$

Al deze berekeningen zijn gewoon geheeltellig!

w

Dus in pseudocode: (erg c-achtig)

$$\text{int } x=0, y=0, F=2 \times R - 1, dF0=1, dF1=4R-1$$

putpixel(x, y)

```
while (x < 2 * R) {
```

```
  if (F > 0) {
```

```
    F += dF0;
```

```
  } else {
```

```
    F += dF1; y += 1;
```

```
  }
```

```
  x += 1; dF0 += 2; dF1 += 2;
```

```
  putpixel(x, y); putpixel(-x, y);
```

```
}
```

?

Let ook dat gebruik gemaakt is van de ~~symmetrie~~ symmetrie rond de y -as om zowel op $-x$ als x te tekenen. 9

1b) Het algoritme $is-is$ rekent telkens nieuwe paren $(-x, y)$ en (x, y) punten op. Hier tussen moet worden opgevuld. Dit elke ~~keer~~ ~~doen~~ ~~is~~ ~~opnieuw~~ ~~doen~~ keer doen is overbodig, immers veranderd y meestal niet. We gaan dus alleen vullen als y geïndexenteerd wordt. 9

Voeg gewoon toe dus meteen na " $y+=1$;" en nog voor de sluit accolade:

```
for(i=-x; i<=x; i++) putpixel(i, y);
```

i moet in e eerder als int gedeclareerd worden. nu worden de eindpunten nog 2x getekend

In dit ~~alg~~ algoritme is geen pixel twee keer getekent.

2) a) Voor elke pixel in ons beeld, ~~is~~ schiet er een ray doorheen. Voor elke ray, bereken de dicht-bij zijnde snijpunt met de scene. De licht waarde van de ray is de emissie van dit object in de scene, plus de som van alle zichtbare lichtbronnen in diffuse belichting (d.w.z. ook spec. maar afhankelijk van je belichtings model), plus de licht termen van alle subrays. De hele optelling is gewoon afhankelijk van je belichtings model, wat te maken heeft met het materiaal van het geraakte object. Er kunnen ook termen in zitten voor alle andere uitbreidingen; bijv. zou je een distance attenuation kunnen doen van alle rays om fog te simuleren. Subrays kunnen weer voor vanden zijn zoals reflecteren

diffraction voornamelijk. Dus in pseudocode:

foreach pixel:

calc: ray through eye and pixel, find closest intersection
pixel = ray.shoot();

f

ray.shoot(): don't process if recursed "too far"

color = weighted color model average of:

- surface emission
- diffuse reflection (foreach light source)
- ambient lighting
- sub-ray colors for: (so calc sub-ray directions) + intersections
 - reflection (possibly multiple)
 - diffraction

return color; (maybe attenuated by distance/atmospheric term)

de recursie is
niet evident in
deze pseudocode

Er is veel flexibiliteit voor uitbreiding in dit recursief model. Je zou bijvoorbeeld van elke subray voor je om zelf evalueren, zijn coëfficiënt niet rekenen en op basis daarvan en niet recursie diepte beslissen wel of niet verder te rekenen.

b) ~~Alle~~ Arbitraire algebraïsche oppervlakken kunnen niet zondermeer in een gesloten expressie (dus zonder trial and error zoektocht) worden opgelost. Dit is wel mogelijk als de graad laag is. Substitutie u van y en z bijv. levert dan een oplossingen ~~Atet~~ set. Omdat lijnen (uitward) lineair zijn, is substitutie altijd mogelijk en blijft de graad van het resulterende ook gelijk. ?

$$\underline{n} = \begin{pmatrix} \frac{\partial F}{\partial x} & \frac{\partial F}{\partial y} & \frac{\partial F}{\partial z} \\ \frac{\partial G}{\partial x} & \frac{\partial G}{\partial y} & \frac{\partial G}{\partial z} \end{pmatrix}$$

Normalen zijn berekenbaar door partiele differentiatie. Er zijn formules om lage graads polynomen op te lossen, deze zijn gewoon opzoekbaar.

Als je bijv. de part. dif. met resp. tot x en tot y uitrekent, krijg je twee vectoren die allebei parallel aan de oppervlakte zijn maar onderling orthogonaal. Met een kruisproduct ~~ja~~ kun je dan de normaal vinden. Het is niet de bedoeling om in de code part. diff. enzo uit te rekenen, dit kun je van tevoren zodat al deze stappen gewoon reduceren tot het berekenen van een polynoom.

Wij in pseudo code:

Studentnummer: 1148044

Bladnr.: 3/3

Adres:

Studierichting:

Tentamen:

Postcode en

Datum:

Woonplaats:

Jaar van eerste inschrijving:

Naam docent:

c) ~~h)~~

3

Bounding boxes $\&$ bereken alleen die snijpunten die ~~naar~~ überhaupt in de buurt komen van je object, en depth-sorting als je object volledig achter een ~~andere~~ ander object zit, ~~hoe~~ hoeef je desnijpunt ook niet uit te rekenen - terwijl normaliter je alle ~~snijpunten~~ snijpunten vindt en dan de meest dichtbijzijnde kiest. **Wacht met lijn-tramp. objecten**

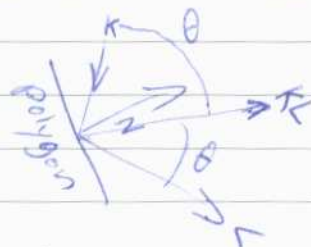
d)

2

Radiosity $\&$ Deze methode spijlt de scene op oppervlaktes in regions, en berekent hoe goed elke oppervlak elke andere kan "zien". Met deze informatie en een vrij simpel belichtings model met ~~het een aantal~~ absorptie en emissie en een "zien"-gebaseerde diffuse reflectie, kun je een heleboel ~~parallel~~ simultane verslijkingen maken. Deze worden meestal gewoon iteratief opgelost, en je hebt per oppervlak een diffuse licht waarde. **1^e deel vraag niet beantwoord.**

3. d)

Gouraud en Phong verschillen subtiel. Beiden proberen de gereflecteerde lichtintensiteit te berekenen ~~naar~~ door de normaal van de oppervlakte van het polygoon ~~te berekenen~~ en het gemiddelde tussen kijk en licht te nemen en hier van een inproduct te nemen en ~~er~~ dit tot een macht nemen. dus: $(KL \cdot N)^P$ met KL en N genormaliseerd.



theta gelijk θ maar het diagram is scheef.

4

Maar ~~het~~ Gouraud maakt deze ~~aan~~ berekening per-vertex en interpoleert de pixelkleurwaarden dan, en Phong interpoleert de vectoren en berekent dan per het resultaat. $\&$

b)

6

Als de highlight in het inwendige van het polygoon valt zullen alle vertexes ~~donkerder~~ donkerder dan de echte highlight. Maar ~~Gouraud~~ Gouraud-shading interpoleert kleuren en zal dan ook een (vaak veel-) te donker resultaat

Omdat het highlighte zich vaak weleens tussen vertex-nabigheid en centrum van een polygoon beweegt en je dan (vooral bij een hoge macht p) een irritant ~~flicker~~ ~~effect~~ flitsen ziet (flicker).

60 c) Om de berekening goed uit te voeren heb je de licht vector en de kijk vector nodig. Bij gourand-shading maakt het dus niet echt uit wanneer je dit doet (maar intern moet je wel al een camera positie en licht positie hebben), maar Phong is per pixel en moet dus perse tijdens de rasterisatie, en dus na de kijktransformatie. 9

3